

دراسة أثر المعالجة الحرارية على الألياف النانوية من أكسيد النحاس (CuO) المحضرة بطريقة الغزل الكهربائي

أ. د. حسن عبد الكريم سليمان *

*أ. د. جمال قاسم الشر

** محمود الشيخ

(تاریخ الإيداع ١٤/١٠/٢٠٢٥ - تاریخ النشر ٢٤/١١/٢٠٢٥)

□ ملخص □

في هذا البحث قمنا بتحضير الياف نانوية من أوكسيد النحاس CuO حيث نهدف إلى تحضير ألياف نانوية من أكسيد النحاس تكون فيها نسبة مساحة السطح إلى الحجم كبيرة جداً وذلك عن طريق الغزل الكهربائي (electrospinning) وهي تقنية تستخدم لتحضير ألياف نانوية عضوية ولاعضوية بأطوال كبيرة وأقطار موحدة، حيث قمنا بتحضير محلول الغزل من خلال مزج نترات النحاس NO_3Cu مع الماء مع بوليمر PVA موحدة، حيث قمنا بتحضير محلول الغزل من خلال تعریض محلول الغزل لقوى الكهرباء الساکنة (Polyvinyl alcohol). أُنتجت الألياف النانوية من خلال تعریض محلول الغزل لقوى الكهرباء الساکنة وذلك بتطبيق جهود مختلفة k.v 23 وقد تم تجميع هذه الألياف على ورقة من الألمنيوم وشرايح من الزجاج ثم قمنا بتعریض هذه الألياف إلى عملية معالجة حرارية وذلك من خلال وضع ألياف البوليمر النانوية المغزولة في فرن عند درجة حرارة الغرفة (35 °C) ثم عند درجة حرارة (200 °C) للتخلص من البوليمر ثم إلى درجة حرارة (500 °C) للتخلص من جميع الشوائب والمواد الأخرى. وأثناء تنفيذ التجربة تمأخذ معاملات محلول والتتشغيل والبيئة المحيطة بعين الاعتبار، حيث تبين أن الألياف المحضرة تملك فجوة طاقية قدرها ($E_g = 3,2 \text{ e.v}$) عند الدرجة (35 °C) وتنقص الفجوة الطاقية إلى ($E_g = 1,8 \text{ e.v}$) مع عملية المعالجة الحرارية للدرجة (500 °C)، كذلك نلاحظ اختفاء قمم الفلورة مع عملية المعالجة الحرارية، كذلك بنية الأسلام كانت أكثر اتساقاً مع عملية المعالجة الحرارية عند الدرجة (500 °C).

الكلمات المفتاحية: أكسيد النحاس، الغزل الكهربائي، ألياف نانوية، مجهر القوة الذرية (AFM).

*أستاذ، قسم الفيزياء، كلية العلوم، جامعة طرطوس.

**أستاذ، قسم الفيزياء، كلية العلوم، جامعة حلب.

***طالب دراسات عليا (ماجستير)، قسم الفيزياء، كلية العلوم، جامعة طرطوس.

Study of the Effect of Heat Treatment on Copper Oxide (CuO) Nanofibers Prepared by Electrospinning

Prof. Dr. Hassan Abd Al Karim Suleiman*
Prof. Dr. Jamal Qassim Al-Sharr **
Mahmoud Al-Sheikh***

(Received 24/10/2025. Accepted 24/11/2025)

□ABSTRACT □

In this research, we prepared copper oxide (CuO) nanofibers with a very high surface area-to-volume ratio using electrospinning. This technique is used to prepare organic and inorganic nanofibers with long lengths and uniform diameters. The spinning solution was prepared by mixing copper nitrate (NO_3Cu) with water and PVA (polyvinyl alcohol) polymer. The nanofibers were produced by subjecting the spinning solution to static electricity using varying voltages up to 23 kV. These fibers were then assembled onto aluminum foil and glass slides. The nanofibers were then subjected to heat treatment by placing them in an oven at room temperature (35 °C), then at 200 °C to remove the polymer, and finally at 500 °C to remove all impurities and other materials. During the implementation of the experiment, the solution parameters, operation, and surrounding environment were taken into consideration. It was found that the prepared fibers have an energy gap of ($e.v Eg= 3.2$) at (35 °C) and the energy gap decreases to ($e.v Eg= 1.8$) with the heat treatment process at (500 °C). We also note the disappearance of the fluorescence peaks with the heat treatment process. Likewise, the structure of the wires was more consistent with the heat treatment process at (500 °C).

Keywords: Copper oxide, electrospinning, nanofibers, atomic force microscopy (AFM).

*Professor, Department of Physics, Faculty of Science, Tartous University .

**Professor, Department of Physics, Faculty of Science, University of Aleppo .

***Postgraduate Student (Master's), Department of Physics, Faculty of Science, Tartous University.

١- مقدمة:

في السنوات الأخيرة، اكتسب تخليق المواد غير العضوية ذات الأشكال النادرة والفريدة من نوعها تقنياً كبيراً بسبب التطبيقات المحتملة كمحفزات والطب والإلكترونيات والسيراميك والأصباغ ومستحضرات التجميل، ومن ابرز هذه المواد، المواد ذات الأبعاد النانوية وقد تم بالفعل إنشاء العديد من طرق التخليق لإعداد الهياكل النانوية المختلفة ومنها طرق تصنيع الأسلاك النانوية [1].

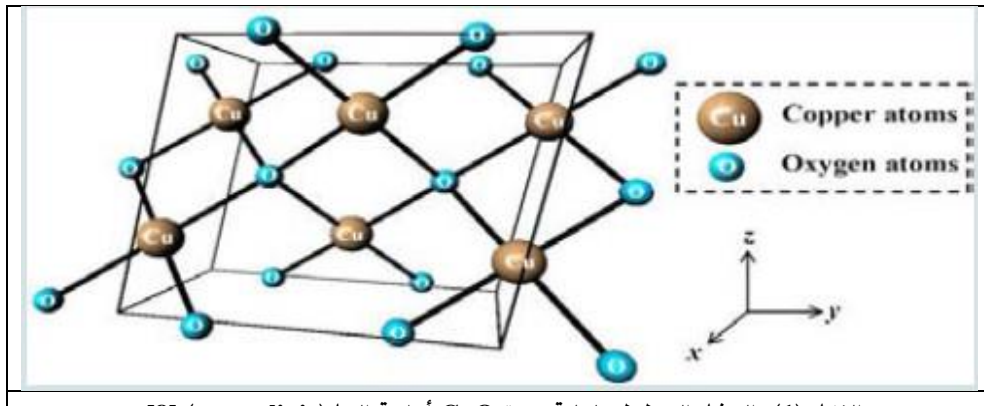
المواد النانوية هي دقائق متاهية في الصغر وتحتوي على بعد واحد على الأقل يتراوح بين (100-1 n.m) . ويعزى سبب استخدامها في تطبيقات عملية واسعة وذلك لاكتسابها عدد من الخصائص الفريدة مقارنة مع نظيراتها ذات الأبعاد الأكبر ومن أبرزها أكسيد المعادن النانوية التي دخلت في مجالات واسعة منها ؛ البصريات، الأجهزة الإلكترونية والكهربائية والمحفزات ومستحضرات التجميل ... الخ [2].

ازداد الاهتمام البحثي بالمواد النانوية وبشكل خاص جسيمات أكسيد المعادن النانوية كأكسيد النحاس النانوي لما تمتلكه من خصائص مميزة كالمقاومة الكهربائية العالية والقوة والصلابة بالإضافة إلى النشاط البيولوجي متعدد الاستخدامات، حيث تستخدم هذه الجسيمات على نطاق واسع كمحفزات صناعية، وأجهزة استشعار كيميائية، وفي التطبيقات الطبية، وأشباه الموصلات وهي مفيدة أيضاً في تطوير الإلكترونيات الدقيقة [3].

إن المادة قيد البحث أكسيد النحاس هي مادة نصف ناقلة ذات لون أسود مائل للرمادي وهي مادة ذات تركيب بلوري احادي الميل (Monoclinic) وثابت الشبكة البلورية لها يساوي $(4.684A^{\circ})$ ويتميز أوكسيد النحاس النانوي فجوة طاقة مقدارها (1.2 eV) وهو نصف ناقل من نوع (p-type) أي أن حاملات الشحنة الأغلبية هي الفجوات (holes) [4]. بالمقارنة مع أكسيد النحاس الميكروي، يتميز أكسيد النحاس النانوي بخصائص فيزيائية وكيميائية مميزة، مثل: التأثير السطحي، وتفوق تأثير الحجم الكمي، وتأثير الحجم، وتأثير النفق الكمي العياني في المغناطيسية، والامتصاص الضوئي، والنطاط الكيميائي، والمقاومة الحرارية، والتحفيز، ونقطة الانصهار. يجذب أكسيد النحاس النانوي اهتماماً متزايداً، وأصبح من أكثر المواد غير العضوية استخداماً على نطاق واسع. أصبحت جسيمات أكسيد المعادن النانوية أداة لا غنى عنها في العلوم والتكنولوجيا الحديثة بسبب خصائصها الفريدة ونطاقها الواسع من التطبيقات [5, 6]. يظهر أكسيد النحاس النانوي أداء ممتازاً مقارنة بنظيره الميكروي. ونتيجة لذلك، تم تصنيع العديد من هياكل أكسيد النحاس النانوية على شكل أسلاك نانوية وقضبان نانوية وإبر نانوية وزهور نانوية وجسيمات نانوية [7].

١-١- البنية البلورية:

تتميز أسلاك أكسيد النحاس النانوية عادةً ببنية بلورية تؤثر بشكل كبير على خصائصها الكهربائية والبصرية والكميائية. بنيتها يمكن أن يوجد أكسيد النحاس النانوي في مراحل مختلفة، أبرزها أوكسيد النحاس الثنائي (Cu_2O) الذي يتميز ببنية بلورية مكعبة وأوكسيد النحاس الثنائي (CuO) الذي يتميز ببنية أحادية الميل كما هو موضح بالشكل (1).

الشكل (1): التمثيل التخطيطي لخلية وحدة CuO أحدية الميل [8].

ويمكن تلخيص بنية وخصائص أكسيد النحاس بال النقاط الرئيسية التالية كما هو موضح بالجدول (1).

الجدول (1) يبين الخصائص البنائية لوكسيد النحاس

القيمة	الخاصة
a) أحادي البلورة b) $a = 4.68 \text{ \AA}$, $b = 3.42 \text{ \AA}$, $c = 5.13 \text{ \AA}$	البنيوية: بنية بلورية ثابت الشبكة البلورية
a) 630 mA h g^{-1} b) $0.1-10 \text{ cm}^2 / \text{V s}$	كهربائية: القدرة العككية حركة الثقب
a) 1.2 eV , direct b) 1.4	بصري: فجوة النطاق معامل الانكسار

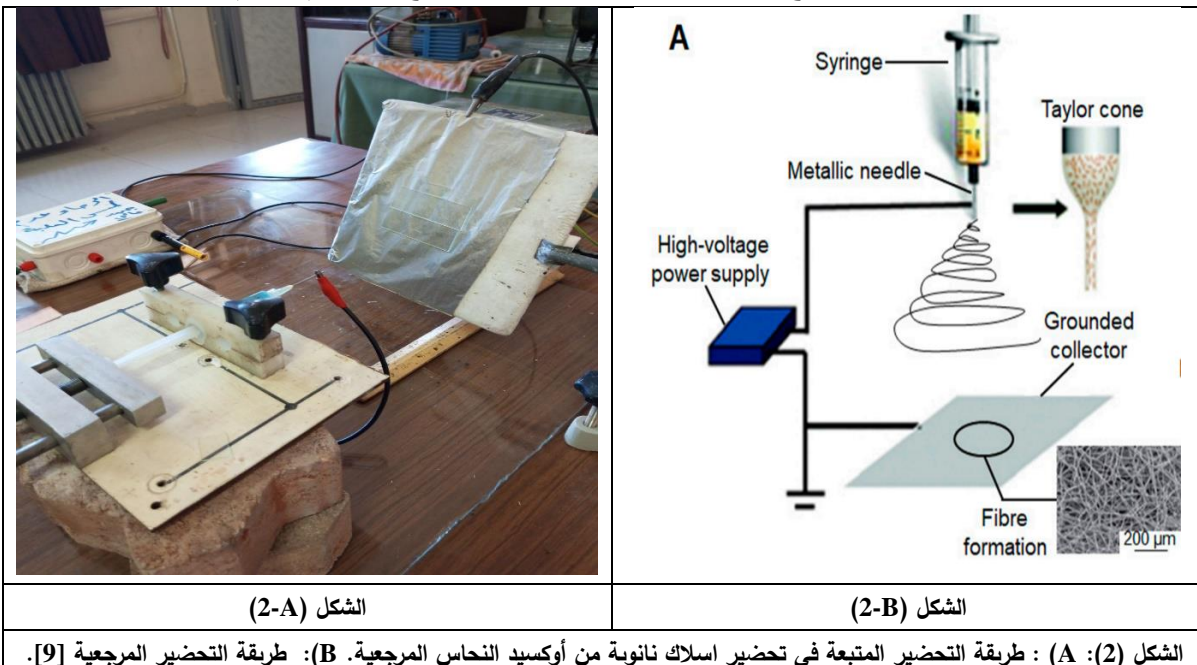
٢- هدف البحث:

البحث عن مادة ذات ناقلية كهربائية عالية ومسامية ويكون فيها مساحة السطح إلى الحجم كبيرة جداً ويعتبر أكسيد النحاس النانوي البنية مرشح قوي لتحقيق هذا الهدف.

٣- طريقة التحضير:

تم تحضير ألياف النحاس النانوية بتقنية الغزل الكهربائي Electrospinning والتي تعد تقنية حديثة ومن أكثر التقنيات شيوعاً لإنتاج ألياف نانوية من مختلف المواد وذلك بسبب بساطتها، وتكلفتها المنخفضة، وإمكانية التحكم في عمليات التصنيع، وتتنوعها الوظيفي، وإمكانية التحكم في مواصفات الألياف المغزولة كهربائياً كالتحكم في مرونته، ومساميتها، والانتقائية، ونفاذية المسام، وأيضاً إمكانية تطبيقه على عدد كبير من المواد، وهي طريقة كهربائية ميكانيكية بسيطة واقتصادية يمكن من خلالها إنتاج ألياف نانوية دقيقة بأقطار صغيرة من رتبة النانومتر والميكرومتر وذلك باستخدام منبع جهد عالي، إذ يتم تحضير محلول المراد غزله كهربائياً ويوضع في سرungan الإبرة المستخدمة، ثم توصل الإبرة الموضوعة في مضخة السرungan بمنبع الجهد العالي بينما يوصل الأرضي بالمجمع. يطبق جهازاً عالياً يؤدي إلى توليد حقل كهربائي بين القطبين وذلك باستعمال تيار متواصل أو متذبذب مما يؤدي إلى تجميع شحنات كهربائية على سطح قطرة محلول الموجود في رأس الإبرة.

تخضع القطرة الموجودة على رأس الإبرة إلى قوتين رئيسيتين هما قوة التناfar الكهربائي الساكن وقوة التوتر السطحي. مع زيادة الجهد المطبق على أiber السرنغ تبدأ قوة التناfar الكهربائي الساكن بالغلب على قوة التوتر السطحي للسائل وتبدأ القطرة الموجودة على رأس الإبرة بالتشوه لتصبح في نهاية الأمر ذات شكل مخروطي يعرف باسم مخروط تايلور Taylor cone، يتذبذب السائل المشحون من رأس الإبرة بعد التغلب على قوى التوتر السطحي متوجهاً نحو المجمع المؤرّض. يؤدي إلى امتطاط السائل المتذبذب وخضوعه إلى حركة التفافية يتبعه أثاثها قسم من المذيب المستخدم وتشكل في النهاية ألياف من أوكسيد النحاس المغلفة بالبوليمر وتكون بأبعاد نانوية وميكروية على سطح الركيزة الزجاجية [9]. كما هو موضح بالشكل (2-a-b).



١-٣ - خطوات طريقة التحضير:

تم في هذه التجربة تحضير محلول الغزل وإنتاج الألياف كما يلي:

- ١ في البداية مزج نترات النحاس $\text{Cu(NO}_3\text{)}_2$ مع الماء بواسطة الخلط المغناطيسي لمدة ساعتين عند درجة حرارة الغرفة للحصول على محلول لزج فيروزي اللون.
- ٢ تم إضافة البوليمر كحول البولي فينيل (PVA) إلى محلول سابق تحت التحريك المغناطيسي لمدة 24 ساعة عند درجة حرارة الغرفة للحصول على محلول الجاهز للغزل. هو بوليمر اصطناعي غير سام ومتافق حيوياً. وهو بوليمر عديم اللون والرائحة وقابل للذوبان في الماء ولهم خصائص ميكانيكية وحرارية جيدة. إن التوزيع الكبير لخصائصه يجعله مناسباً للعديد من التطبيقات. على سبيل المثال، نظراً لتوافقه الحيوي وعدم سميته، فهو بوليمر مناسب للتطبيقات الطبية الحيوية. وقد تم بالفعل استخدامه بنجاح لاستبدال الغضروف والعدسات اللاصقة وتضميد الجروح وما إلى ذلك [10].
- ٣ تم وضع محلول المخلوط في محقنة سعة 10 mL قطر إبرة يبلغ 0.5 mm وطول إبرة 3 cm سم، ويتم ضخها بسرعة 0.5 mL / ساعة باستخدام مضخة حقنة.

- ٤ تم استخدام رقائق الألومنيوم وشرائح الزجاج كمجمع، وتم الحفاظ على المسافة بين طرف الإبرة والمجمع عند 15 cm.
- ٥ وتم تطبيق جهد تيار مستمر قدره 23 كيلو فولت، وبدأ جهاز الغزل بإنتاج الألياف على كل من المجمع وشرائح الزجاج.
- ٣-٢ العوامل المؤثرة في عملية التحضير:**
في عملية الغزل الكهربائية توجد مجموعه من العوامل المؤثرة في عملية الغزل وقد تم تلخيصها في الجدول (2).

الجدول (2): يبين العوامل المؤثرة في عملية الغزل.

المتغيرات المؤثرة	العوامل
١. معدل التدفق	العوامل المؤثرة في عملية الغزل الكهربائي
٢. الجهد المطبق	
٣. المسافة بين الإبرة والمجمع	
٤. قطر الإبرة وطولها	
٥. أشكال المجمع	
٦. التوافقية بين المذيب والبوليمر	
١. الزوجة	العوامل المؤثرة في محلول البوليمر
٢. الناقالية (التوصيل)	
٣. التوتر السطحي	
٤. التركيز الجزيئي للبوليمر	
١. التيارات الهوائية	العوامل الخارجية
٢. الرطوبة	
٣. درجة الحرارة	

٣-٣ عملية المعالجة الحرارية:

في هذه المرحلة قمنا بتقسيم العينة المحضرة عند الجهد 23 كيلو فولت والمجمعة على شرائح زجاجية الى ثلاث الى ثلاثة اقسام (شرائح)، وتمت عملية المعالجة الحرارية عند درجات حرارة درجة مختلفة (35,200,500°C) وعند الدرجة (35°C) في درجة حرارة المخبر، وعند الدرجة (200°C) للتخلص من البوليمر وعند الدرجة (500°C) للتخلص من الشوائب والمواد الأخرى، وذلك لمدة زمنية قدرها ساعتين (2H) ولجميع العينات.

٤- الأجهزة والأدوات المستخدمة:

- ١ أدوات التحضير الكيميائية.
- ٢ جهاز الغزل الكهربائي شرائح المنيوم وشرائح زجاجية.
- ٣ كحول البولي فينيل (PVA).
- ٤ مجهر القوى الذرية AFM (Atomic Force Microscopy).
- ٥ مطيافية الامتصاص الضوئية (u.v).
- ٦ مطياف الفلورة الضوئية PL من شركة Hitachi رقم F-2500.

-٧ فرن المعالجة الحرارية من شركة Carbolite رقم CWF 1200 .

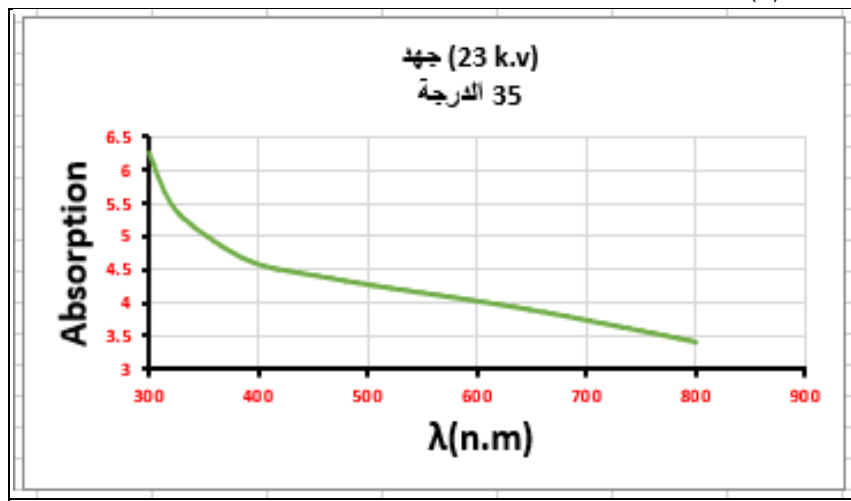
٥- الدراسات والنتائج التجريبية:

٥-١- الدراسات الضوئية للألياف النانوية المحضرة عند جهد غزل (23 k.v):

تُعد القياسات البصرية لأوكسيد النحاس (CuO) وجسيماته النانوية أساسية لفهم خصائصه الإلكترونية والبصرية حيث يمتلك أوكسيد النحاس فجوة طاقية خاصة به تتراوح (1.5-1.2 eV) ويتمتع CuO بفجوة نطاقيّة أضيق مقارنة مع (Cu_2O) والذي يمتلك فجوة طاقية (2 eV) ويتم استخدامه غالباً في التطبيقات التحفيزية وأجهزة الاستشعار حيث تعتبر هذه الفجوة الطاقية المباشرة مناسبة للتطبيقات في مجال الطاقة الكهروضوئية والإلكترونيات البصرية وجعلها مناسبة للاستخدام في الخلايا الشمسية ذات الأغشية الرقيقة، مما يعزز امتصاص الضوء.

٥-١-١- طيف الامتصاص (U.V) للألياف النانوية المحضرة عند جهد غزل (23 k.v) والمعالجة عند الدرجة (35°C):

من أجل دراسة الخصائص البصرية والضوئية نستخدم مطيافية الامتصاصية في (UV-Vis) لما تتميز به من أهمية كبيرة من توصيف قابلية الالكترونات الحرة او المرتبطة للانتقال الى سويات طاقية (مدارات) ذات طاقات اعلى وخصوصا عندما يتم توظيف المادة المحضرة في التطبيقات الإلكترونية والتطبيقات الضوئية الدقيقة في الخلايا الشمسية، لذا تمت دراسة طيف الامتصاص لأسلاك أوكسيد النحاس (CuO) المحضرة وقمنا بإجراء قياسات الامتصاصية الضوئية للألياف النانوية من أوكسيد النحاس والمجمعة على شرائح زجاجية والمحضرة عند جهد غزل (23 k.v) باستخدام مطياف (U.V) اطواله الموجية تتراوح بين (300-900) nm كما هو موضح بالشكل (3).

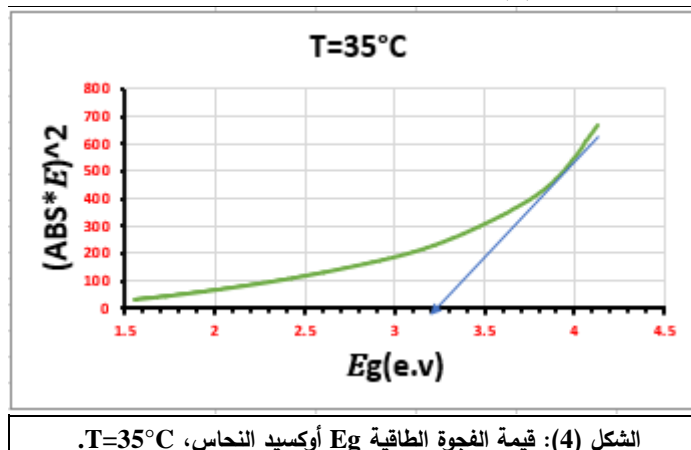


الشكل (3): يبين الامتصاصية الضوئية لأسلاك أوكسيد النحاس (CuO)، 35°C

• دراسة الفجوة الطاقية للألياف المعالجة عند الدرجة (35°C):

تم تحديد الفجوة الطاقية (E_g) للألياف النانوية المحضرة من أوكسيد النحاس (CuO) والمعالجة حرارياً عند الدرجة (35°C) من أطيف الامتصاص وباستخدام علاقة $\alpha h\nu = \frac{A(h\nu - E_{gap})^{\frac{m}{2}}}{Tauc}$ ، حيث تم تقدير قيمة الفجوة الطاقية من استقراء الجزء الخطى ($\alpha h\nu$) من

علاقة (tauc) مقابل طاقة الفوتون (hv) حيث α هي معامل الامتصاص، hv هي طاقة الفوتون، و $m = 1$ للانتقالات المباشرة يبين الشكل (4) قيمة الفجوة الطاقية Eg أوكسيد النحاس.

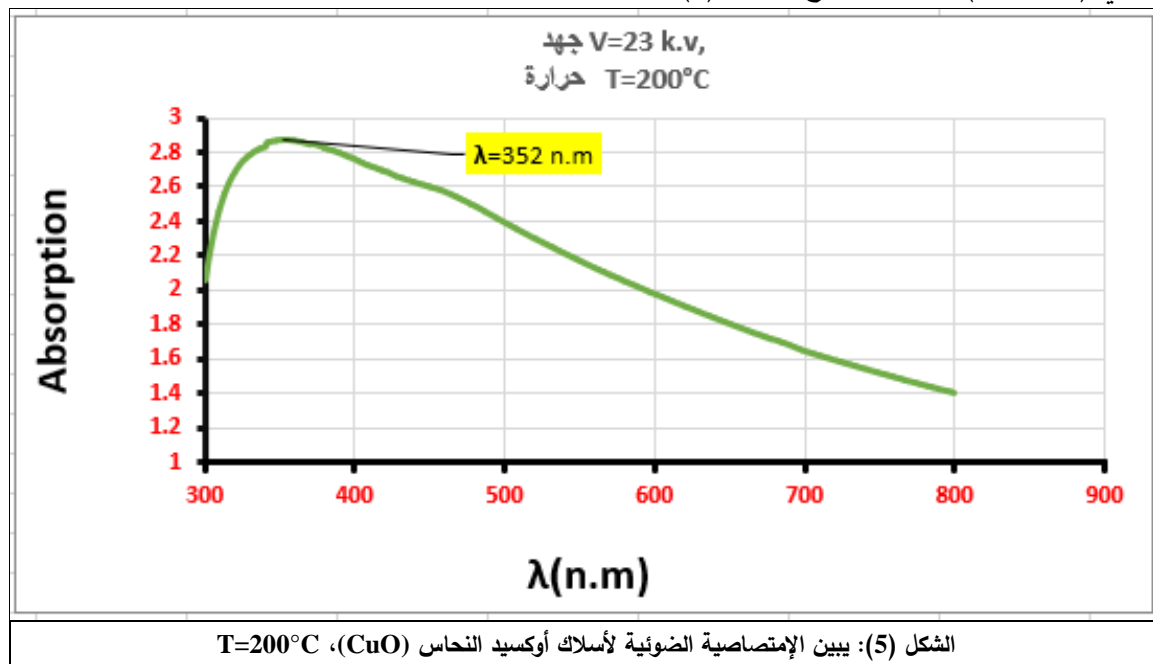


الشكل (4): قيمة الفجوة الطاقية Eg أوكسيد النحاس، $T=35^{\circ}\text{C}$

يتبيّن لدينا من الشكل (4) أن قيمة الفجوة الطاقية الضوئية للألياف النانوية من أوكسيد النحاس تساوي $(Eg= 3,2 \text{ e.v})$.

الدرجة (200°C):
2-2-1-5- طيف الامتصاص (u.v) للألياف النانوية المحضرة عند جهد غزل (23 k.v) والمعالجة عند

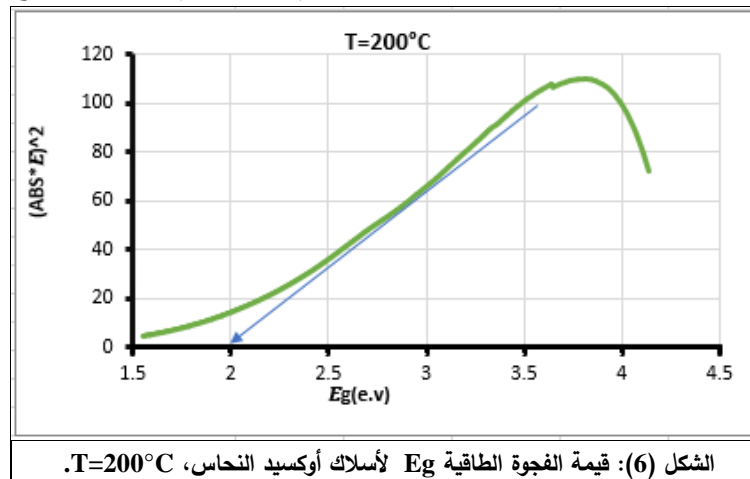
وقدمنا بإجراء قياسات الامتصاصية الضوئية للألياف النانوية من أوكسيد النحاس والمجمعة على شرائح زجاجية والمحضرة عند جهد غزل كهربائي (23 k.v) والمعالجة حرارياً عند الدرجة (200°C) باستخدام مطياف (U.V) اطواله الموجية تتراوح بين (300-900) n.m حيث يتبيّن وجود قمة امتصاص موافقة للطول الموجي (352 n.m) كما هو موضح بالشكل (5).



الشكل (5): يبيّن الإمتصاصية الضوئية لأسلاك أوكسيد النحاس (CuO)، $T=200^{\circ}\text{C}$

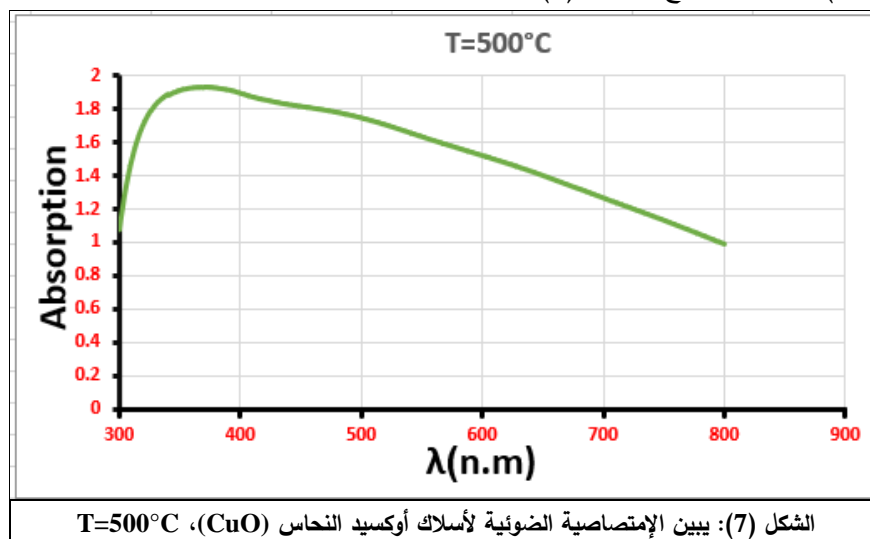
• دراسة الفجوة الطاقية للألياف المعالجة عند الدرجة (200°C):

تم تحديد الفجوة الطاقية (E_g) للالياف النانوية المحضرة من أوكسيد النحاس (CuO) والمعالجة عند الدرجة (200°C) من أطياف الامتصاص وتبين انها مساویه الى ($E_g=2 \text{ e.v}$) كما هو موضح بالشكل (6).



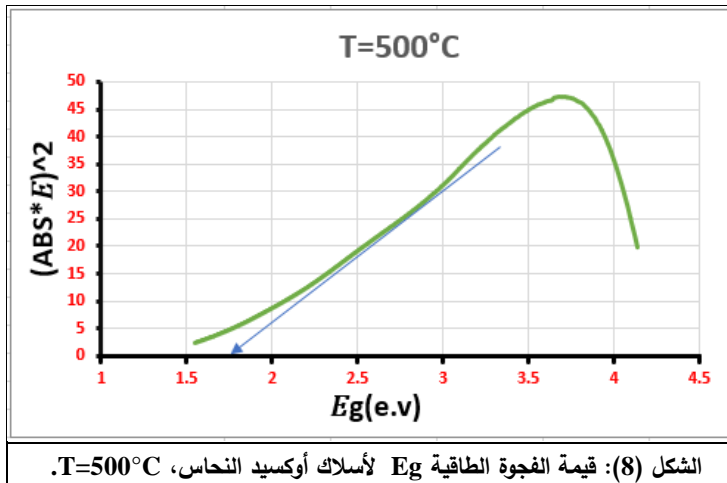
• ٣-١-٥- طيف الامتصاص (u.v) للالياف النانوية المحضرة عند جهد غزل (23 k.v) والمعالجة عند الدرجة (500°C):

وقدمنا بإجراء قياسات الامتصاص الضوئية للالياف النانوية من أوكسيد النحاس والمجمعة على شرائح زجاجية والمحضرة عند جهد غزل كهربائي (23 k.v) والمعالجة حراريا عند الدرجة (500°C) باستخدام مطياف (U.V) اطواله الموجية تتراوح بين n.m (300-900) حيث يتبيّن وجود قمة امتصاص موافقة للطفل الموجي (351 n.m) كما هو موضح بالشكل (7).



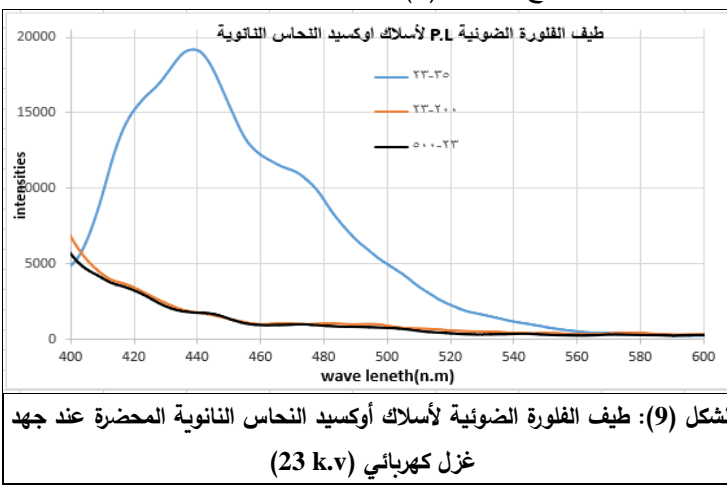
• دراسة الفجوة الطاقية للالياف المعالجة عند الدرجة (500°C):

تم تحديد الفجوة الطاقية (E_g) للالياف النانوية المحضرة من أوكسيد النحاس (CuO) والمعالجة (500°C) من أطياف الامتصاص وتبين انها مساویه الى ($E_g=1.8 \text{ e.v}$) كما هو موضح بالشكل (8).



2-5 دراسة طيف الفلورة P.L للعينات المحضررة :CuO

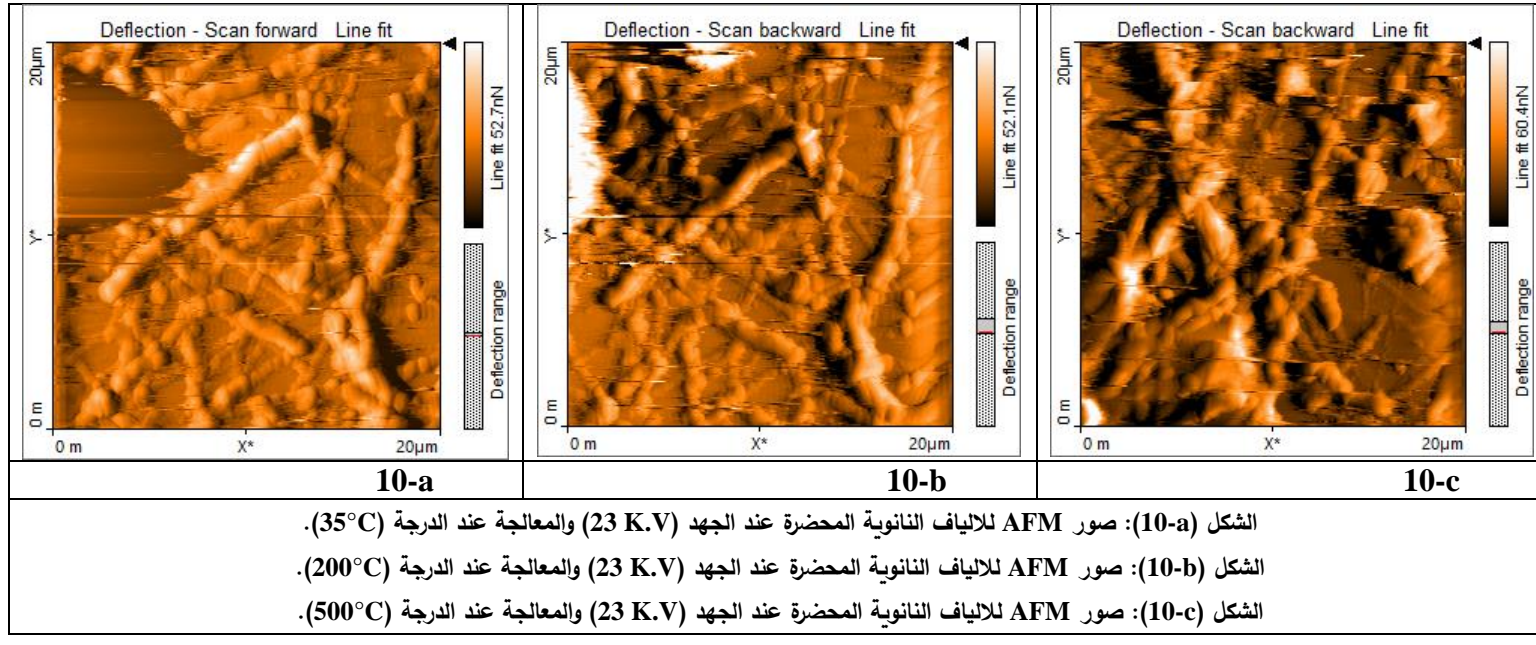
تم استخدام جهاز التألق الضوئي PL FS20 لقياس طيف الفلورة في المجال المرئي و ذلك عبر استخدام مصباح زينون (Xenon Lamp) (40W) كمنبع اثارة حيث سلطت على العينات حزم ضوئية بأطوال موجية nm (340-900) و تبين من طيف الفلورة الضوئية وجود قمة عند العينة المحضررة من CuO عند الجهد (23 K.V) و ذلك من أجل حرارة الغرفة عند الطول الموجي لللثارة ($\lambda = 438nm$) بينما لوحظ تلاشي قم الامتصاص عند العينات الأخرى المحضررة من نفس المركب CuO ولكن عند درجة الحرارة 200 °C و عند الدرجة °C 500 كما هو موضح بالشكل (9).



3-5 القياسات السطحية باستخدام مجهر القوى الذرية AFM

: (Microscopy)

باستخدام مجهر القوى الذرية AFM تم أخذ صور مجهرية ثنائية وثلاثية البعد للألياف والالياف النانوية المحضررة من أوكسيد النحاس CuO عند جهد غزل كهربائي قدره (23 K.V) على شريحة زجاجية والمعالجة حراريا عند الدرجات (35, 200, 500 °C) ولمدة ساعتين، ولنفس المنطقة من سطح العينة وبمقاس واحد ($20\mu\text{m} \times 20\mu\text{m}$)، أظهرت هذه الصور شكل تجمعات الألياف والألياف المغزلة كما هو موضح في الشكل (10-a-b-c) .



الشكل (10-a): صور AFM للالياف النانوية المحضرة عند الجهد (23 K.V) والمعالجة عند الدرجة (35°C).

الشكل (10-b): صور AFM للالياف النانوية المحضرة عند الجهد (23 K.V) والمعالجة عند الدرجة (200°C).

الشكل (10-c): صور AFM للالياف النانوية المحضرة عند الجهد (23 K.V) والمعالجة عند الدرجة (500°C).

يبين الشكل (10-a-b-c) تغيرات بنية الأسلامك نتيجة المعالجة الحرارية حيث أنها تؤثر على حجم وشكل الأسلامك يمكن أن يؤدي درجات الحرارة المرتفعة إلى نمو أو تلدين الأسلامك النانوية بشكل عام، يمكن القول أن قطر السلك النانوي يزداد مع المعالجة الحرارية حيث يحدث نمو سطحي للسلك النانوي مما يؤدي إلى تغيير أبعادها وشكل سطحها مما يؤدي إلى زيادة قطر الأسلامك النانوية وفي بعض الحالات، قد يؤدي المعالجة الحرارية إلى تقليل قطر الأسلامك النانوية بسبب فقدان مواد البوليمر نتيجة المعالجة الحرارية كما هو موضح بالشكل (10-c)، حيث نلاحظ تناقص قطر الأسلامك النانوية المعالجة عند الدرجة (500 °C).

6- الاستنتاجات :

١. تُسهم المعالجة الحرارية المرتفعة في تعزيز درجة التبلور داخل الألياف النانوية، مما يؤدي إلى تقليل العيوب البنائي (Structural Defects) وتحسين انتظام البنية البلورية، وهو ما ينعكس إيجاباً على جودة الأسلامك النانوية واستقرارها.
٢. يلاحظ حدوث تناقص في قطر الأسلامك النانوية بعد المعالجة الحرارية عند (500 °C)، ويعزى ذلك إلى تحلل أو تبخّر المكونات البوليمرية المستخدمة في تركيب الألياف، مما يؤدي إلى تقلص البنية وتكتف المادّة الفعالة كما هو ملاحظ في الشكل (10).
٣. تساهم المعالجة الحرارية في تحسين الناقليّة الكهربائية للألياف النانوية، وذلك من خلال تقليل عدد العيوب المحفورة (Traps) وزيادة حرية حركة حوامل الشحنة، مما يؤدي إلى رفع كفاءة التوصيل الكهربائي وبالتالي تناقص الفجوة الطاقية كما في الشكل (6).
٤. تتحفّض الفجوة الطاقية (Band Gap) لأكسيد النحاس النانوية بشكل ملحوظ عند زيادة درجة حرارة المعالجة؛ إذ تتراجع من حوالي $Eg \approx 3.2 \text{ eV}$ عند 35°C إلى $Eg \approx 1.8 \text{ eV}$ عند 500°C ، ويعزى هذا الانخفاض إلى إعادة ترتيب البنية البلورية وزيادة التوصيلية الناتجة عن تحسين التبلور وتقليل العيوب.
٥. اختفاء قم الفلورة الضوئية مع ارتفاع درجة المعالجة الحرارية كما في الشكل (9).

References:

1. Giotto dos Santos, A.; Martins, T.R.; Krishnamurthy, S.; Assumpção Bertuol, D.; Tanabe, E.H. *Production of Nanofibers Composed of CuO for the Removal of Pb(II) from Aqueous Solutions*. Metals (2025), 56. <https://doi.org/10.3390/met15010056>.
2. Aarcha Appu Mini, Arghya Chakravorty, Sudip Das, Shikha Awasthi, Andrews Nirmala Grac, Sarvesh Kumar Pandey, Vimla Raghavan, *CuO nanoparticles passivated 2D MXene-based voltammetric sensor for detecting environmental hazardous pollutant*, Microchemical Journal Volume 201, June (2024), 110648, <https://doi.org/10.1016/j.microc.2024.110648>.
3. Qiu, Y., Yu, J., Zhou, X., Tan, C., and Yin, J. (2009). *Synthesis of 362 porous NiO and ZnO submicro and nanofibers from electrospun pol- 363 ymer fiber templates*. Nanoscale Research Letters, 4, 173-177. 364.
4. Rajendran, S. P., and Sengodan, K. (2017). *Synthesis and characterization of zinc Oxide and iron oxide nanoparticles using sesbania 366 grandiflora Leaf extract as reducing agent*. Journal of Nanoscience, 367 (2017), 1-7.
5. Z. M. Jarzebski, “Oxide Semiconductors”, Vol. 4 , (1974).
6. Kelgenbaeva, Z., Khandaker, J. I., Ihara, H., Omurzak, E., Sulaimankulova, S., Mashimo, T. *Thermal and optical properties of In and In₂O₃ nanoparticles synthesized using pulsed plasma in water*. Phys. Status Solidi A. 215 (11), 1700910 (2018).
7. Phiwdang, K., Suphankij, S., Mekprasart, W., Pecharapa, W. *Synthesis of CuO nanoparticles by precipitation method using different precursors*. Energy Procedia 34, 740–745 (2013).
8. Jagpreet Singh, Gurjas Kaur and Mohit Rawat**A Brief Review on Synthesis and Characterization of Copper Oxide Nanoparticles and its Applications*, Published: 27 June, (2016).
9. Huang MH, Mao S, Feick H, Yan H, Wu Y, Kind H, Weber E, Russo R, Yang P. *Room- temperature ultraviolet nanowire nanolasers*. Science. 292(5523), 1897-1899 (2001). doi:10.1126/science.1060367.
10. Mogoșanu, G.D.; Grumezescu, A.M. *Natural and synthetic polymers for wounds and burns dressing*. Int. J. Pharm. (2014), 463, 127–136.